

ГЕОЛОГИЯ

УДК 552.54

Р.Р. ГАБДУЛЛИН, А.В. ИВАНОВ

О ГЕТЕРОХРОННОСТИ ВЕРХНЕМЕЛОВЫХ КАРБОНАТНЫХ ОТЛОЖЕНИЙ РУССКОЙ ПЛИТЫ

Представлены результаты комплексного изучения верхнемеловых отложений Русской плиты, в которых выделена последовательность из 12 пачек, содержащих 17 уровней стратиграфических перерывов, три из которых являются гетерохронными. Отмечены ритмичные и неритмичные интервалы, ритмы классифицированы по петрографическим типам и порядкам. Выделены интервалы аккумуляции осадков, разделенные уровнями изохронных и гетерохронных перерывов, которые в сеноман-коньякском интервале совпадают по продолжительности с астрономо-климатическими циклами (Миланковича) эксцентриситета земной орбиты (E_3 1,29 и E_4 2,03 млн. лет), а в кампане и маастрихте интервалы — с циклами E_3 .

На протяжении ряда лет авторы проводили детальные комплексные стратиграфические исследования верхнемеловых карбонатных разрезов Ульяновско-Саратовского прогиба (разрезы Сенгилея, Хвалынска, Вольска, Белогородни и Нижней Банновки) и Воронежской антеклизы (разрезы Бетово, Чернетово, Фокино и Старого Оскола). Детально изучены ритмичность (от визуального наблюдения и описания до математических методов (Фурье-анализ)) и вертикальное распространение форм ископаемой фауны. За стратиграфическую основу взята корреляционная схема верхнего мела Русской плиты [1]. В соответствие со схемой нами принято трехчленное деление сеномана, турона и коньяка и двучленное деление сантона, кампана и маастрихта. В результате по конкретным разрезам и интервалам нами получены новые данные [4—7], анализ которых позволил выявить ряд закономерностей. В частности, установлены последовательность из 12 пачек в строении верхнемелового разреза, а также гетерохронность некоторых интервалов.

Стратиграфические особенности

Сеноманский ярус

Нижнесеноманские отложения широко распространены на территории Русской плиты и представлены песками и песчаниками с горизонтами фосфоритовых конкреций. Вышележащие отложения сеномана полностью сохранились в пределах Польско-Литовской синеклизы и частично известны в некоторых других районах пли-

ты [8]. Сеноманские отложения изучались авторами в разрезах Воронежской антеклизы (карьер Стойленского ГОКа в Белгородской области, Фокинский карьер, села Бетово, Чернетово в Брянской области) и Ульяновско-Саратовском прогибе (разрез у с. Нижняя Банновка, Саратовская область). Сеноманским отложениям соответствует пачка I. Схема их сопоставления в изученных разрезах приведена на рис. 1.

Воронежская антеклиза. Разрез верхнемеловых отложений Воронежской антеклизы неполный и характеризуется сокращенной мощностью его горизонтов. Сеноманские отложения здесь представлены глауконит-кварцевыми песками с фосфоритовыми гальками и стяжениями в основании, обычно лежащими на альбских песчано-глинистых отложениях, мощность 4—8 м. Горизонты с фосфатизированными остатками позвоночных и беспозвоночных животных в сеноманских песчанистых отложениях Воронежской антеклизы называются «северским остеолитом» или «курским самородом» [15]. В сеноманских отложениях Воронежской антеклизы выделяют полпинскую (нижний сеноман — зона *Turritiles costatus* среднего сеномана) и дятьковскую (зона *Inoceramus crippsi* среднего сеномана — верхний сеноман) свиты, стратотипические разрезы которых расположены у сел Полпино и Дятьково Брянской области. Полпинская и дятьковская свиты входят в состав брянской серии брянского горизонта (рис. 2).

Ульяновско-Саратовский прогиб. Сеноманские отложения Ульяновского и Саратовского Поволжья представлены фосфоритоносными песками и алевритами мощностью от 0 до 80 м [12].

В разрезах городов Хвалынска и Вольска (север Саратовской области) такие отложения отсутствуют. Южнее, у с. Нижняя Банновка, туронские породы с размывом лежат на сеноманских отложениях. Отложения сеномана в Ульяновско-Саратовском прогибе изучались в разрезе у с. Нижняя Банновка (юг Саратовской области) на правобережье Волги. Сеноманские отложения Ульяновско-Саратовского прогиба объединены в меловатскую свиту (рис. 2), стратотипический разрез которой находится у с. Меловатка в Волгоградской области, на правом берегу р. Медведица.

Полпинская и дятьковская свиты (Воронежская антеклиза). Меловатская свита (Ульяновско-Саратовский прогиб). Пачка I: пески зеленовато-серые, бурые, среднезернистые, глауконитовые; песчаники бурые, ожелезненные, плотные. Пачка включает два или три горизонта фосфоритовых конкреций. Макрофоссилии представлены двустворчатыми моллюсками, в том числе устрицами, образующими банки, отмечено обилие остатков акуловых, химеровых и kostистых рыб, установлены ростры белемнитов, редкие аммониты. Встречаются окаменевшие стволы деревьев *Cupressinoxylon kiprijanovi* и копролиты крупных морских рептилий [18]. Мощность пачки 0–50 м.

Туронский ярус

Образования нижнего турона распространены локально: Польско-Литовская синеклиза, Калужская и Урало-Эмбенская области и представлены мергелями с *Inoceramus labiatus* и *In. hercynicus* [8]. Нижнетуронские отложения присутствуют в разрезах Воронежской антеклизы (карьера Стойленского ГОКа, у г. Фокино; обнажения у сел Бетово и Чернетово).

Средне- и верхнетуронские отложения распространены широко: мел, мелоподобные мергели и известняки с фосфоритовыми и кремневыми стяжениями. Эти отложения содержат *Scaphites geinitzi*, *Lewesiceras peramplum*, в северо-восточной провинции *Actinocamax intermedius*, *Inoceramus lamarki*, *In. apicalis*, *Micraster corbovis*, *M. leskei*, *Conularia subrotundus*, *C. subconicus*, причем в верхнетуронских установлены *Micraster corstetudinarium*, *Holaster planus*. Данная ассоциация морских ежей и иноцерамов характерна для разрезов г. Вольска. Наибольшая мощность туронских отложений составляет 40–60 м в Польско-Литовской синеклизе. На значительной площади верхнетуронские образования лежат на нижнем сеномане или на различных горизонтах более древних пород [8]. В разрезах Воронежской антеклизы (карьер Стойленского ГОКа, г. Старый Оскол, Белгородская область) и Ульяновско-Саратовского прогиба (обнажение на северной окраине г. Хвалынска, карьер цемзавода «Большевик» на окраине г. Вольска и разрез у с. Нижняя Банновка, Саратовская область) средне- и верхнетуронские отложения представлены писчим мелом.

Воронежская антеклиза. К основанию пачки туронских карбонатных отложений приурочены фосфоритовая плита и «сурка» (песчанистая раз-

новидность мела с фосфоритовыми желваками), которые маркируют асинхронный (гетерохронный) перерыв в осадконакоплении, охватывающий на Воронежской антеклизе временной интервал с сеноманом по коньку [15]. Возраст «сурки» в разрезах Брянской области в работах разных авторов варьирует от верхнего сеномана до турона [10]. Вследствие этого положение сеноман-туронской границы в разрезах Брянской области остается дискуссионным [10]. В изученных разрезах отложения нижнего турона перекрывают с размывом пески сеномана и представлены преимущественно писчим мелом с двумя прослоями бентонита. Присутствие последних в средней и верхней частях нижнего турона позволяет коррелировать разрезы Брянской (г. Фокино и др.) и Белгородской (карьер Стойленского ГОКа) областей. По данным [1], отложениям турона Воронежской антеклизы соответствует тускарьевская свита нижнего подгоризонта губкинского горизонта (рис. 2). Схема сопоставления туронских отложений в изученных разрезах приведена на рис. 3.

Ульяновско-Саратовский прогиб. Нижнетуронские отложения зоны *labiatus* здесь пользуются локальным распространением [15] и не изучались авторами. Средне-верхнетуронские отложения Ульяновско-Саратовского прогиба исследовались в трех разрезах Саратовской области, коррелируемых между собой (Хвалынск, Вольск, Нижняя Банновка). Данная толща названа «иноцерамовый мел». Турун представлен пачкой писчего мела, в основании которой находится фосфоритовая плита. Выше нее расположена «сурка», которая перекрывается белым чистым писчим мелом. Мощность туронских отложений в Вольско-Хвалынской впадине составляет 8–10 м [11]. Визуально неотличимые от туронских вышележащие конькакские отложения литологически идентичны. Первый маркирующий горизонт (реперный уровень) при корреляции разрезов туруна Саратовского Поволжья — фосфоритовый конгломерат в основании туруна [11]. Отмечена тенденция увеличения мощности туруна от 1 до 7 м с севера на юг в Вольско-Хвалынской впадине [3]. Турунские карбонатные отложения целесообразно рассматривать как банныковскую свиту (рис. 2). Стратотипическим разрезом следует считать разрез на горе Сырт у с. Нижняя Банновка (Саратовская область).

Тускарьевская (Воронежская антеклиза) и банныковская свиты (Ульяновско-Саратовский прогиб). Пачка II: «сурка», песчанистый мел (в вольском разрезе мергель) с равномерно рассеянными фосфоритовыми желвачками и горизонтами обломков призматического слоя иноцерам. В основании пачки присутствует (в вольском разрезе нет) сильно сконденсированный прослой сцепментированных фосфоритовых желваков различных форм, степени окатанности черного и коричневого цветов с глауконитом. В пачке содержатся раковины устриц, кубки губок, окатанные зубы и позвонки акул. Мощность фосфоритовой плиты составляет 0,2 м, а пачки — 0,5–2 м. Ритмичность в данной пачке не установлена.

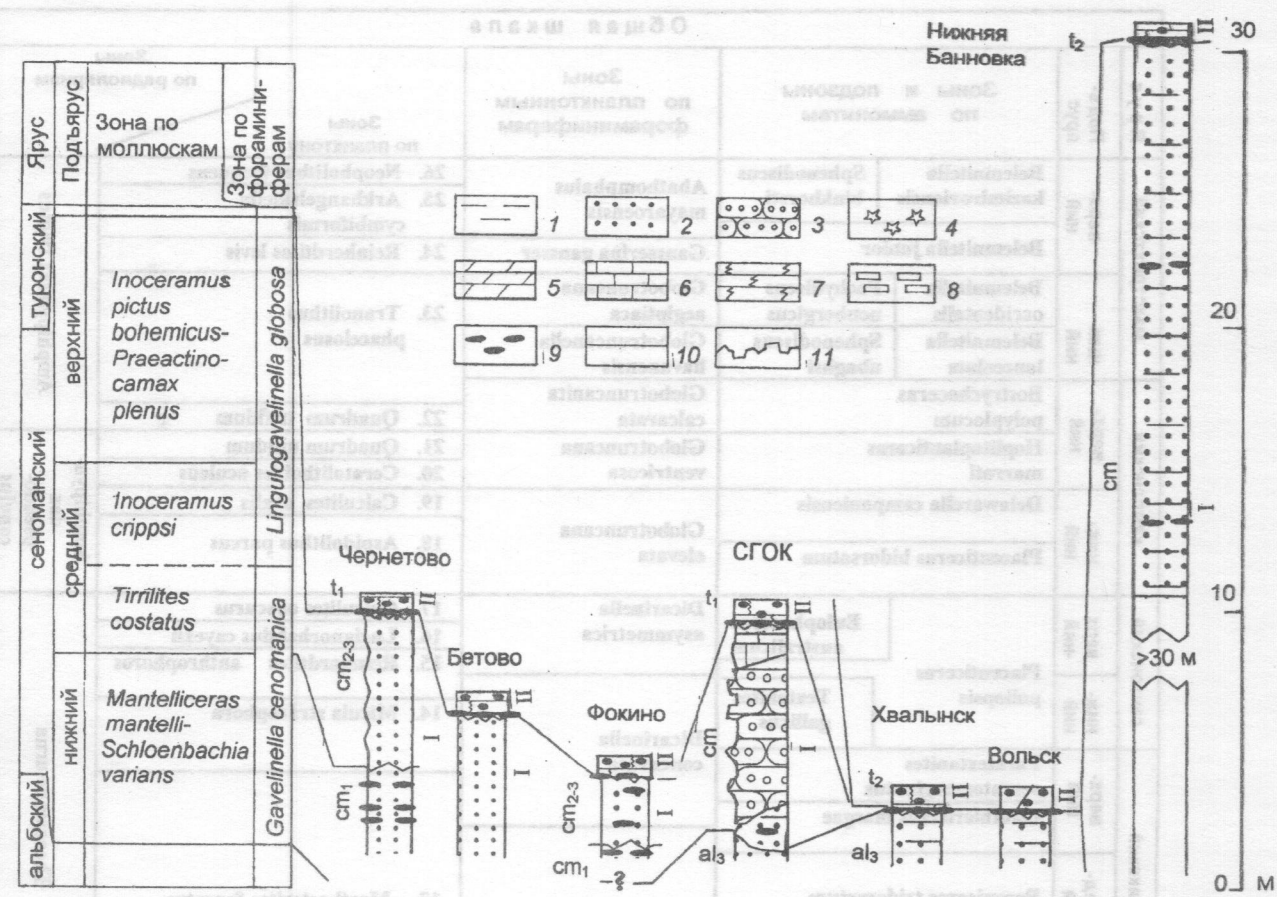


Рис. 1. Схема сопоставления разрезов сеноманских отложений Воронежской антиклизы и Ульяновско-Саратовского прогиба:
1 — глины; 2 — алевриты; 3 — пески, рыхлые песчаники; 4 — песчаники; 5 — опоки; 6 — мергели; 7 — известняки; 8 — писчий мел; 9 — фосфориты; 10 — призматический слой иноцерам; 11 — задернованная часть разреза; 12, 13 — границы стратонов; 12 — согласные, 13 — несогласные; «пустые» интервалы в разрезе — фрагменты, не изученные авторами; СГОК — Стойленский горнообогатительный комбинат

Гетерохронная пачка III: писчий мел белый, светло-, желтовато-серый. Пачка содержит многочисленные макрофоссилии: белемниты, иноцерамы, брахиоподы, морские ежи, зубы акул, чешую рыб, копролиты и ихnofоссилии. Пачка гетерохронна: нижний и верхний турон на Воронежской антиклизе и средний и верхний турон в Ульяновско-Саратовском прогибе. В пачке установлена ритмичность, представленная чередованием пластов писчего мела и тонких слоев глин, мела и мергеля, разновидностей писчего мела. В нижней части пачки (подпачка III-1) — писчий мел с двумя бентонитовыми прослойками и поверхностями подводного выветривания — панцирями (Воронежская антиклиза). Мощность пачки III составляет 2,5–20 м. Число ритмов варьирует от 2 до 3. В вольском разрезе ритмичность не установлена.

Коньякский ярус

Коньякские отложения наблюдались в разрезах Воронежской антиклизы (карьер Стойленского ГОКа, карьер цементного завода у г. Фokino и у с. Чернетово (Брянская область)) и Ульяновско-Саратовского прогиба (карьер цемзавода «Большевик» у г. Вольска и обнажение на северной окраине г. Хвалынска).

Воронежская антиклиза. Нижнеконьякские отложения представлены всегда писчим мелом;

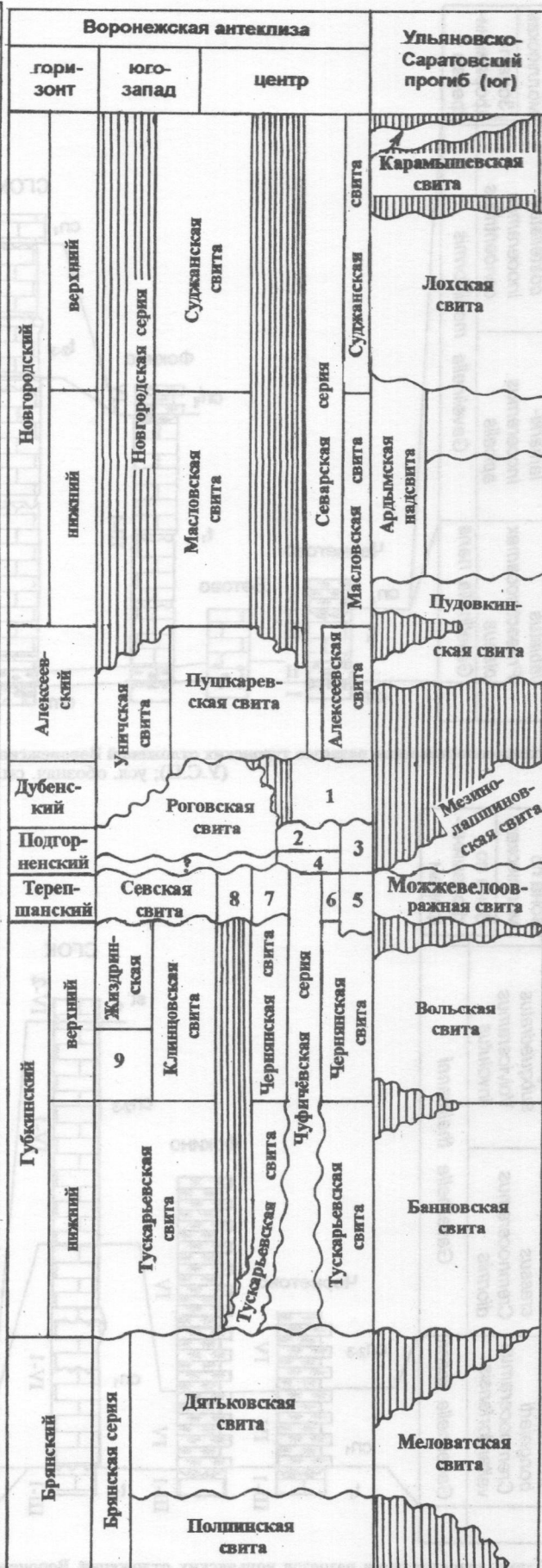
опоки и трепела верхнего коньяка в Брянской области несогласно перекрывают нижележащие породы турона. В верхнем течении Десны (Брянская область) выпадают из разреза верхние горизонты верхнего турона и нижнего коньяка. В Белгородской области писчий мел верхнего подъяруса с небольшим размывом лежит на мелу нижнего подъяруса. Авторами изучена толща писчего мела нижнего и верхнего подъярусов в разрезе карьера Стойленского ГОКа, пачка кремнистых мергелей и опок верхнего подъяруса в разрезе карьера у г. Фokino, пачка опок у с. Чернетово. В Воронежской антиклизе породы чернетовской свиты соответствуют нижнему коньяку, а жиздринской свиты — среднему и верхнему коньяку.

В Ульяновско-Саратовском прогибе писчий мел нижнего коньяка согласно сменяет аналогичные породы турона (Хвалынск, Вольск). Достоверно присутствие среднеконьякских отложений подтверждается находками *C. crassus*, *C. schloenbachi* и *Echinocorys gravesi* [15]. Верхнеконьякские отложения установлены по находкам *Volviceramus involutus*. Мощность коньякских отложений в пределах Ульяновско-Саратовского прогиба не превышает 30 м [15], в Вольско-Хвалынской впадине меняется от 1,5–2 м в Хвалынске до 3–4 м в Вольске [11]. Отложения коньяка объединяются в вольскую свиту согласно решению совещания регионального межведомственного стратиграфиче-

Общая шкала											
		Ярус		Подъярус		Зоны и подзоны по аммонитам		Зоны по планктонным фораминиферам		Зоны по радиоляриям	
		Верхний		Нижний		<i>Belemnitella kazimiroviensis</i>		<i>Sphenodiscus binkhorsti</i>			
		<i>Belemnitella junior</i>						<i>Abathomphalus mayaroensis</i>		26. <i>Neopholithus frequens</i>	
		<i>Belemnitella occidentalis</i>		<i>Pachydiscus neubergicus</i>				<i>Globotruncana aegiptiaca</i>		25. <i>Arkhangelskiella cymbiformis</i>	
		<i>Belemnitella lanceolata</i>		<i>Sphenodiscus ubaghsii</i>				<i>Globotruncanella havanensis</i>		24. <i>Reinherdites levius</i>	
		<i>Bostrychoceras polyplocum</i>						<i>Globotruncana calcarea</i>		23. <i>Tranolithus phacelosus</i>	
		<i>Hoplitoplanticeras marroti</i>						<i>Globotruncana ventricosa</i>		22. <i>Quadrum trifidum</i>	
		<i>Delawarella campaniensis</i>						<i>Globotruncana elevata</i>		21. <i>Quadrum nitidum</i>	
		<i>Placenticeras bidorsatum</i>						<i>Dicarinella asymmetrica</i>		20. <i>Ceratolithoides aculeus</i>	
		<i>Eulophoceras australicum</i>						<i>Dicarinella concavata</i>		19. <i>Calculites ovalis</i>	
		<i>Placenticeras poliopsis</i>		<i>Textanites gallicus</i>				<i>Dicarinella primitiva</i>		18. <i>Aspidolithus parcus</i>	
		<i>Paratextanites serratomarginatus</i>								17. <i>Calculites obscurus</i>	
		<i>Gauthiericeras margae</i>								16. <i>Lucianorhabdus cayexii</i>	
		<i>Peroniceras tridorsatum</i>								15. <i>Reinhardtites anthroporhinos</i>	
		<i>Forresteria (Harcites) petrocoryensis</i>								14. <i>Micula straphora</i>	
		<i>Subprionocyclus neptuni</i>						<i>Marginotruncana sigali</i>		13. <i>Marthasterites furcatus</i>	
		<i>Romaniceras deverianum</i>								Theocampe urna	
		<i>Romaniceras ornatissima</i>								Amphipyndax pseudocaudulus	
		<i>Romaniceras kallesi</i>								Amphipyndax tylopus	
		<i>Kamerunoceras turoniense</i>									
		<i>Mammites nodosoidea</i>									
		<i>Watinoceras coloradoense</i>									
		<i>Neocardioceras juddi</i>									
		<i>Meteioceras geslidianum</i>									
		<i>Calicoceras guerangeri</i>									
		<i>Alternacanthoceras jukesbrownii</i>									
		<i>Acanthoceras rhomagense</i>		<i>Turrellites acutus</i>							
				<i>Turrellites costatus</i>							
		<i>Mantelliceras dixoni</i>									
		<i>Mantelliceras saxbii</i>									
		<i>Mantelliceras mantelli</i>		<i>Neostlingoceras carcitanense</i>				<i>Rotalipora brotzeni</i>			

Рис. 2. Корреляционная схема верхнего мела Русской плиты (по [1] с дополнениями): 1 — дубенковская свита, 2 — новооскольская свита, 3 — подгорненская толща, 4 — сапрыкинская свита, 5 — толучеевская свита, 6 — истобниковская свита, 7 — золотухинская свита, 8 — терешинская свита, 9 — чернетовская свита

Региональные подразделения		
Зоны и подзоны по моллюскам		Зоны и слои по фораминиферам
Hoploscaphites constrictus	<i>Neobelemnitta kazimiroviensis</i>	<i>Hanzawaia ekblomi</i>
Belemnitta langei	<i>Belemnitta junior</i>	<i>Brotzenella complanata</i>
	<i>Acanthoscaphites tridens</i>	<i>Spiroplectammina suturalis</i>
	<i>Belemnella simensis</i>	
	<i>Belemnella lanceolata</i>	
	<i>Belemnella licharewi</i>	
	<i>Belemnitta langei naidini</i>	
	<i>Belemnitta langei langei</i>	<i>Globorotalites embbensis</i>
	<i>Belemnitta langei minor</i>	
	<i>Belemnitta mucronata mucronata Hoploplacenticeras coesteldiense</i>	<i>Brotzenella montereiensis</i>
	<i>Gonioteuthis gracilis – Belemnellocamax mammaliatus</i>	<i>Cibicides temirensis</i>
	<i>Gonioteuthis quadrata quadrata</i>	
	<i>Belemnitta mucronata alfa</i>	
	<i>Actinocamax laevigatus – Belemnitta precursor mucronatiformis</i>	<i>Gavelinella clementina clementina</i>
	<i>Gonioteuthis granulata – Sphenoceramus patootensis</i>	<i>Gavelinella stelligera</i>
	<i>Sphenoceramus cardisoides</i>	<i>Gavelinella infrasantonica</i>
	<i>Magadiceramus subquadratus</i>	
	<i>Volviceramus involutus</i>	
	<i>Cremnoceramus crassus</i>	
	<i>Cremnoceramus deformis</i>	
	<i>Cremnoceramus brongniarti</i>	
	<i>Cremnoceramus waltersdorfensis</i>	
	<i>Inoceramus costellatus</i>	
	<i>Inoceramus striatoconcentricus</i>	
	<i>Inoceramus lamarski – Inoceramus apicalis – Mytiloides hercynicus</i>	<i>Gavelinella moniliiformis</i>
	<i>Mytiloides labiatus – Praeactinocamax plenus triangulus</i>	<i>Gavelinella nana</i>
	<i>Inoceramus pictus bohemicus – Praeactinocamax plenus</i>	<i>Linguloga – velinella globosa</i>
	<i>Inoceramus pictus</i>	
	<i>Inoceramus crippsi</i>	
	<i>Turrelites costatus</i>	
	<i>Mantelliceras mantelli – Schloenbachia varians</i>	<i>Gavelinella cenomanica</i>



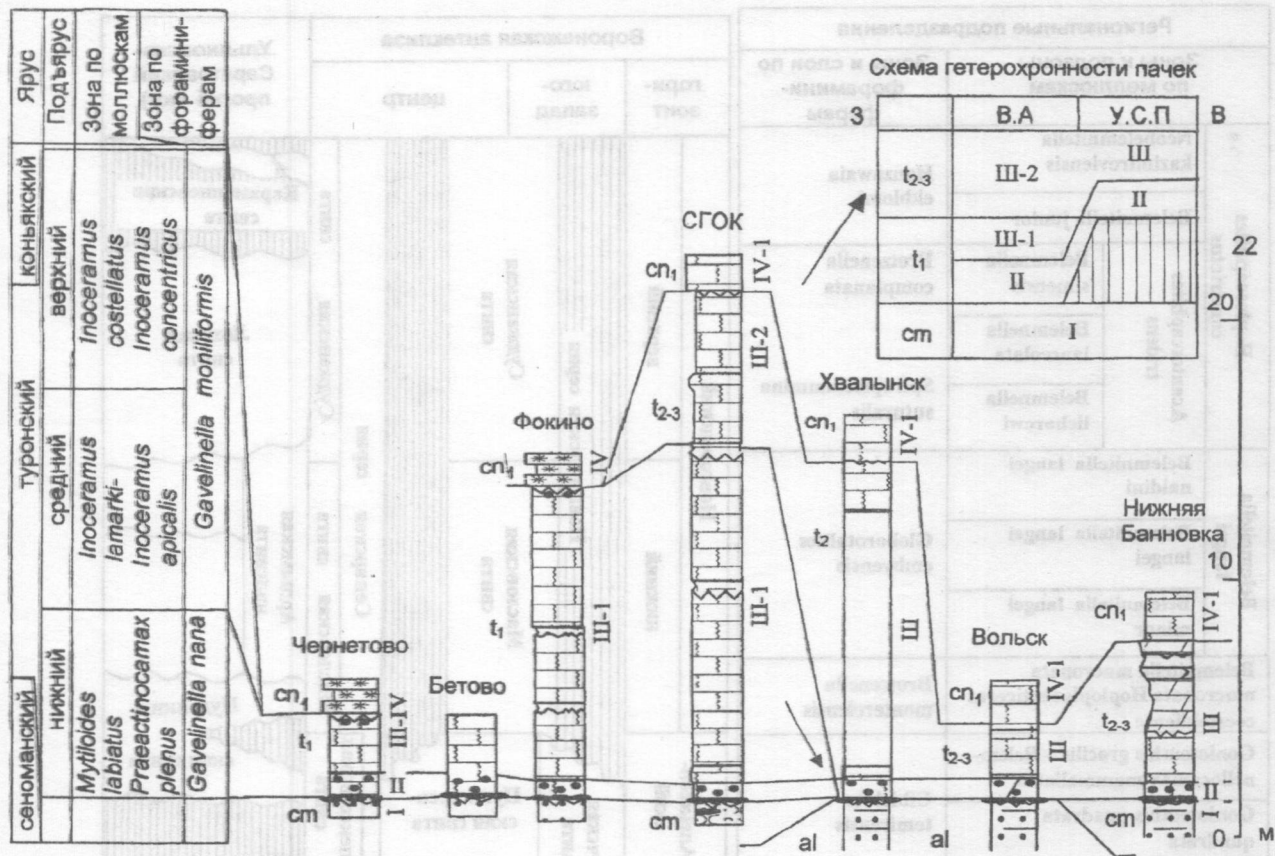


Рис. 3. Схема сопоставления разрезов туронских отложений Воронежской антиклизы (В.А.) и Ульяновско-Саратовского прогиба (У.С.П.); усл. обознач. см. рис. 1

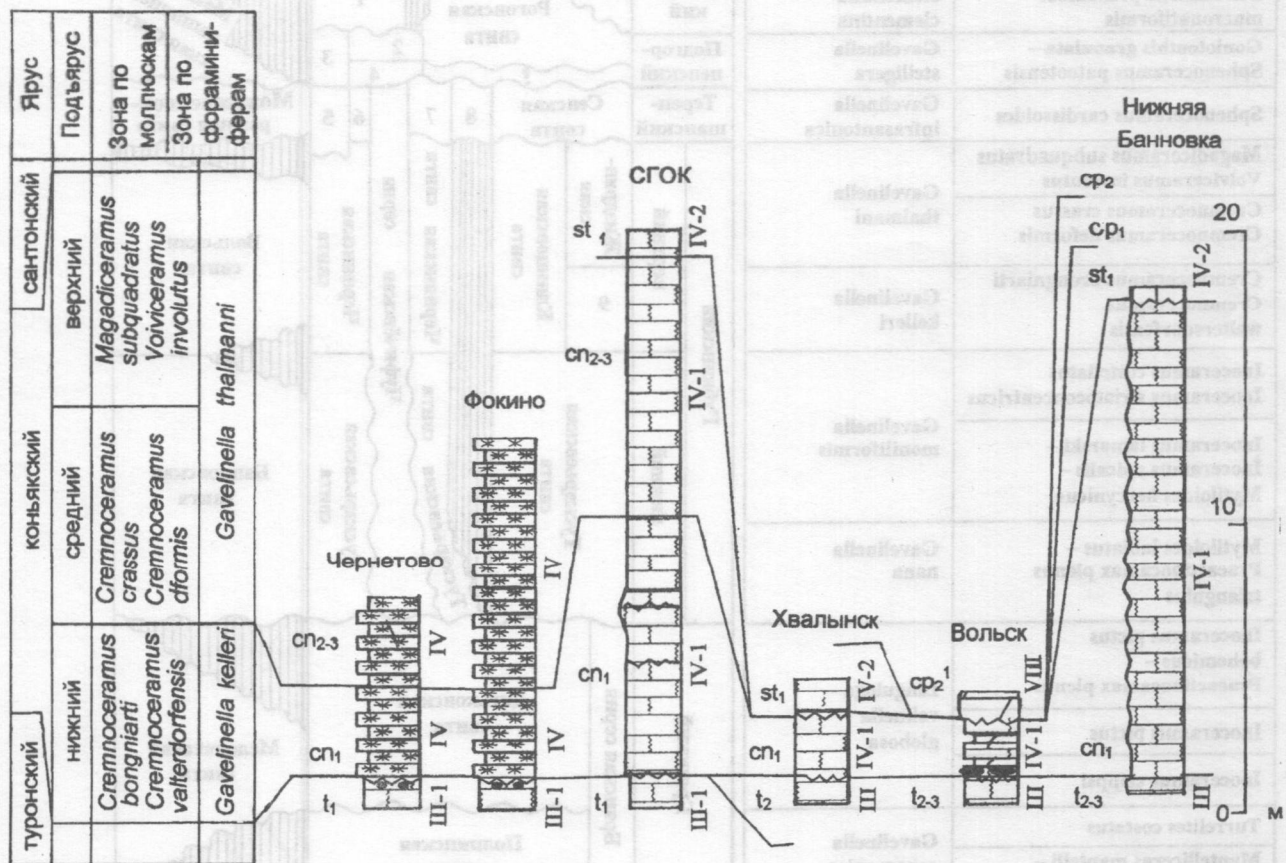


Рис. 4. Схема сопоставления разрезов коньякских отложений Воронежской антиклизы и Ульяновско-Саратовского прогиба: мощности ритмов в разрезах Чернетово, Фокино и Нижняя Банновка показаны условно; усл. обознач. см. рис. 1

ского комитета от 11–12.01.2001). Схема сопоставления коньякских отложений приведена на рис. 4.

Чернетовская, жиздринская (Воронежская антеклиза) и вольская (Ульяновско-Саратовский прогиб) свиты. Пачка IV: желтовато-серые, иногда зеленоватые кремнистые мергели и опоки (запад Воронежской антеклизы) или чистый белый писчий мел с губковым горизонтом в верхней части. Породы содержат многочисленные ихнофоссилии и фоссилии: иноцерамы, устрицы, губки, брахиоподы. Мощность пачки варьирует от 4–9 м (запад Воронежской антеклизы) до 30 м (юг Воронежской антеклизы). Пачка охватывает отложения коньяка—нижнего сантонна. Писчий мел пачки IV соответствует в разрезе Стойленского ГОКа нижнему и верхнему коньяку (подпачка IV-1), а также нижнему сантону (подпачка IV-2). Деление данной пачки на подпачки основано не столько на литологических, сколько на биостратиграфических критериях. Ритмичность в породах пачки проявляется по-разному. На западе Воронежской антеклизы, в Брянской области этот стратиграфический интервал представлен циклически построенной толщей опок. В разрезе карьера Стойленского ГОКа в породах верхнего коньяка установлен один ритм: плотный мел—рыхлый мел. В разрезах Хвалынска и Вольска ритмичность не наблюдалась. В Нижней Банновке, напротив, ритмичность выражена в чередовании слоев мела и поверхностей размыта. Число ритмов 25.

Сантонский ярус

Сантонский ярус на Восточно-Европейской платформе подразделяется на две части. В основании сантонских отложений почти повсеместно отмечен перерыв в осадконакоплении. Основание сантонна в Поволжье (например, в разрезе у с. Нижняя Банновка) представлено «губковым слоем» — пачка мергелей, обогащенных фосфоритовыми стяжениями с ядрами моллюсков и многочисленными остатками губок. В некоторых районах Поволжья, например, в Вольске, сантонские отложения отсутствуют [8]. Следует отметить неоднозначность в трактовке положения пограничных с кампаном слоев, особенно полосатой серии и ее аналогов. Саратовские исследователи хотя и относят слои с *Oxytopa tenuicostata* к верхам сантонна, но не рекомендуют использовать этот вид в качестве зонального [9]. По мнению Д.П. Найдина [8], эти слои соответствуют нижним слоям кампана. В любом случае

положение сантон-кампанской границы остается дискуссионным. Авторы поддерживают точку зрения Д.П. Найдина. Сантонские отложения изучены на Воронежской антеклизе в карьере Стойленского ГОКа и в Ульяновско-Саратовском прогибе у с. Нижняя Банновка. Разрезы сантонских отложений сопоставлены на рис. 5.

Воронежская антеклиза. Сантонские отложения с перерывом либо согласно перекрывают нижележащие отложения коньяка. В Белгородской области низы сантонна литологически не отличимы от верхов коньяка (разрез карьера Стойленского ГОКа) и наращивают толщу писчего мела турона—коньяка. Верхняя часть сантонских отложений представлена ритмичной толщей известняков и известковистых мергелей и визуально отличима от нижележащей толщи писчего мела. Здесь мощность нижнего сантонна достигает 30 м [15]. Севская свита Воронежской антеклизы соответствует нижнему сантону, а роговская — верхнему сантону и нижнему кампану (рис. 1). На территории Брянской области сантонские отложения местами отсутствуют. В полосе от г. Брянска до западных районов Воронежской области распространены кремнистые мергели, опоки и тре-

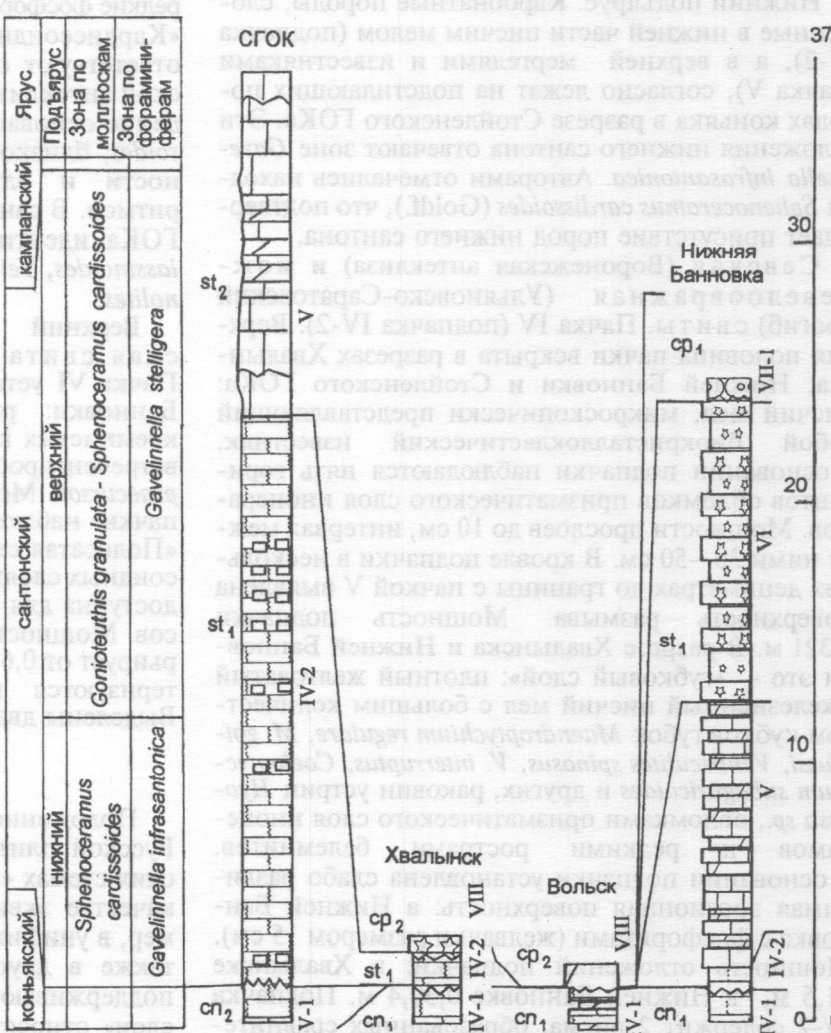


Рис. 5. Схема сопоставления разрезов сантонских отложений Воронежской антеклизы и Ульяновско-Саратовского прогиба: мощности ритмов в верхнем сантоне разреза Нижняя Банновка показаны условно; усл. обознач. см. рис. 1

пела сантон. В этом регионе встречаются образования обоих подъярусов сantonского яруса. Мощность верхнего сантонова 30–40 м [15]. Сантонские отложения в Воронежской антеклизе изучены авторами в разрезе карьера Стойленского ГОКа.

Ульяновско-Саратовский прогиб. Отложения сантонова изучались на севере Саратовской области в окрестностях г. Хвалынска и на юге у с. Нижняя Банновка. В центральной части области (например, в Вольске) сантонские отложения отсутствуют. В Саратовском Поволжье общая мощность сантоновых отложений составляет 25–30 м [15]. Хорошим реперным уровнем разрезов сантонова Саратовского Поволжья является губковый слой в основании [12]. Нижнесантоновые «кардиссоидные слои», представленные ритмичным переслаиванием мергелей и известняков, переходят в верхнесантоновую «полосатую серию» переслаивания кремнистых глин и опок. Цветовая дифференциация и профиль выветривания придают сантонским отложениям Поволжья отчетливый полосчатый облик. Можжевелоовражная свита соответствует нижнему сантону, а мезинолапшиновская — верхнему сантону (рис. 2).

Нижний подъярус. Карбонатные породы, сложенные в нижней части писчим мелом (подпачка IV-2), а в верхней мергелями и известняками (пачка V), согласно лежат на подстилающих породах конька в разрезе Стойленского ГОКа. Эти отложения нижнего сантонова отвечают зоне *Gavelinella infrasantonica*. Авторами отмечались находки *Sphenoceramus cardissooides* (Goldf.), что подтверждает присутствие пород нижнего сантонова.

Севская (Воронежская антеклиза) и **можжевелоовражная** (Ульяновско-Саратовский прогиб) свиты. Пачка IV (подпачка IV-2). Верхняя половина пачки вскрыта в разрезах Хвалынска, Нижней Банновки и Стойленского ГОКа: писчий мел, микроскопически представляющий собой биокристаллокластический известняк. В основании подпачки наблюдаются пять горизонтов обломков призматического слоя иноцерамов. Мощности прослоев до 10 см, интервал между ними 30–50 см. В кровле подпачки в нескольких дециметрах до границы с пачкой V выявлена поверхность размыта. Мощность подпачки 0,321 м. В разрезе Хвалынска и Нижней Банновки это — «губковый слой»: плотный желтоватый ожелезненный писчий мел с большим количеством кубков губок *Maendroptychium regulare*, *M. goldfussi*, *Ventriculites spinosus*, *V. interruptus*, *Coeloptychium subagaricoides* и других, раковин устриц *Nuttissa sp.*, обломками призматического слоя иноцерамов и редкими рострами белемнитов. В основании подпачки установлена слабо различимая эрозионная поверхность: в Нижней Банновке с фосфоритами (желвачки размером 15 см). Мощность отложений подпачки: в Хвалынске 11,5 м, в Нижней Банновке 0,30,4 м. Подпачка IV-2 содержит 2 ритма, образованных сравнительно более и менее карбонатными разностями мела. Пачка переслаивания мелоподобных мергелей и известняков (V) включает 4 ритма: мелопо-

добный мергель (0,3–0,5 м) — известняк (0,6–0,75 м). Ритмичность подчеркивается профилем выветривания. В разрезах Хвалынска и Нижней Банновки закономерного переслаивания пород в подпачке IV-2 не установлено.

Пачка V: ритмичное переслаивание белых биокристаллокластических известняков и мергелей, мощность 10–15 м. В верхней части пачки наблюдается поверхность перерыва. Встречена в разрезах Стойленского ГОКа и Нижней Банновки. Для Ульяновско-Саратовского прогиба характерны «кардиссоидные слои» (с раковинами *Sph. cardissooides*, рострами *Act. verus fragilis*, *B. propinqua*, *B. praecursor*), занимающие промежуточное положение между «губковым слоем» и «полосатой серией». Мощность толщи 1012 м [8]. В обнажении мощность этой части разреза составляет 10,3 м. «Кардиссоидные слои» представлены ритмично переслаивающимися кремнистыми светлыми известковистыми мергелями, мергелистыми известняками (0,5–1,5 м, чаще 0,5–0,8) и сизыми, серыми глинистыми мергелями (0,4–0,6 м). Ритмичность в пачке выражена 9 ритмами известняк—мергель. В подошве слоя наблюдаются редкие фосфоритовые желваки размером около 1 см. «Кардиссоидные слои», по мнению авторов, соответствуют отложениям пачки V на Воронежской антеклизе (Стойленский ГОК). Это утверждение основано на наличии раковин *Sph. cardissooides*; близкой мощности; одном типе ритмичности и одинаковых мощностях элементов ритмов. В сантоновых отложениях Стойленского ГОКа идентифицированы ихнофоссилии *Thalassinoides*, *Teichichnus*, *Chondrites*, *Zoophycos* и *Planolites*.

Верхний подъярус. **Мезинолапшиновская свита** (Ульяновско-Саратовский прогиб). Пачка VI установлена только в разрезе Нижней Банновки: ритмичное переслаивание темных кремнистых глин, глин и светлых опок. В пачке встречены ростры *Act. verus fragilis*, *B. propinqua*, *B. praecursor*. Мощность 15–20 м. В верхней части пачки наблюдается поверхность перерыва [8]. «Полосатая серия» согласно залегает на «кардиссоидных слоях». Остальная часть разреза была недоступна для изучения из-за оползневых процессов. Мощность плотной ожелезненной опоки варьирует от 0,6 до 0,9 м. Глинистые прослои характеризуются мощностями от 0,8 до 1,3 м. Выделены два ритма в нижней части обнажения.

Кампанский ярус

Положение сантон-кампанской границы на Русской плите дискуссионно. В стратиграфических схемах «птериевые слои» рассматриваются в качестве эквивалента верхнего сантонова. Например, в унифицированных схемах 1956 и 1964 гг., а также в других. Геологи «саратовской школы» поддерживают эту точку зрения. «Птериевые слои» относятся к нижнему кампану на основании находок *Actinocamax mammillatus* в верхней части нижнего кампана в Саратовском Поволжье [8].

Отложения кампана присутствуют в Воронежской антеклизе, но не встречены в изученных разрезах. «Птериевые слои», изобилующие находками раковин *Oxytoma tenuicostata* Roem., обнажаются на р. Десне выше г. Новгород-Северский, где установлены зоны *Belemnitella praecursor* и *Actinocamax laevigatus* (низы нижнего кампана), и *Gonioteuthis quadrata quadrata* (средняя часть нижнего кампана). Мощность нижнего кампана 3–5 м. Верхний кампан (35–50 м) представлен зонами *mucronata* и *langei*. Верхняя часть нижнего кампана и низы верхнего кампана сложены преимущественно мергелями и писчим мелом, терминальная часть кампана (зона *langei*) — писчим мелом. Мощность кампанских отложений 0–50 м [15]. Исследованные разрезы кампанских отложений расположены в пределах Ульяновско-Саратовского прогиба (рис. 6).

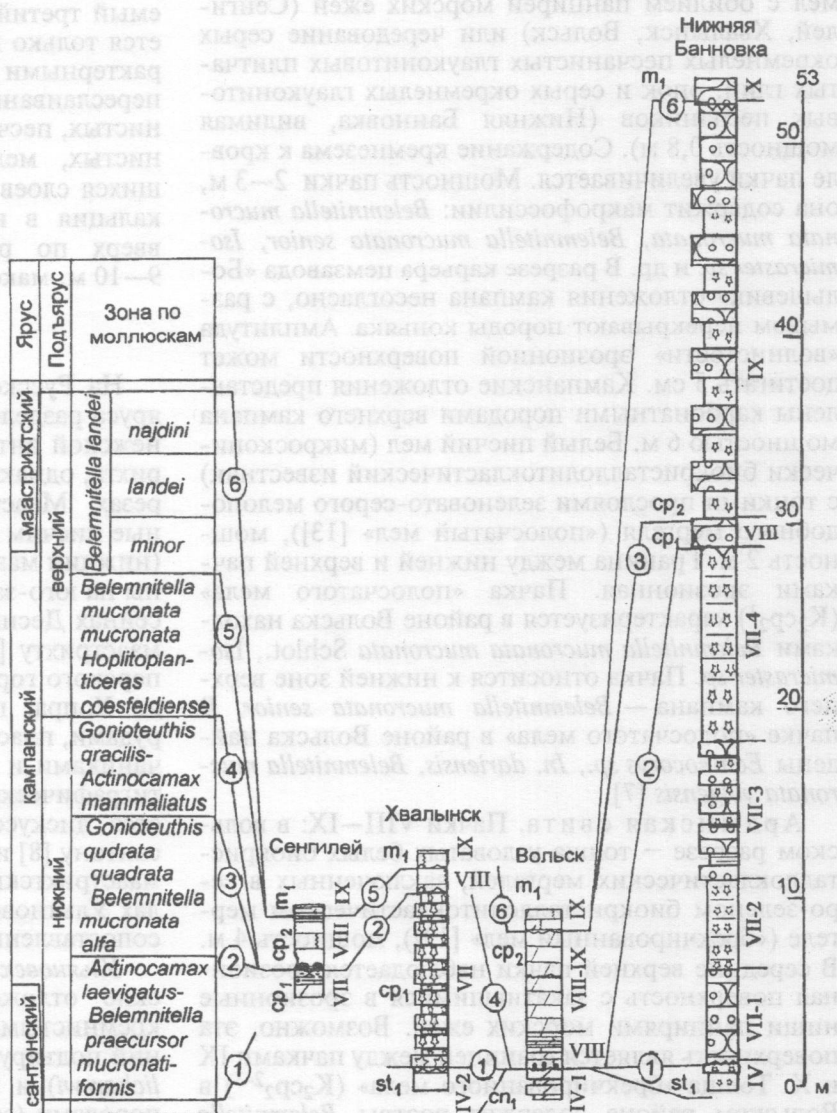
Нижнекампанская отложения широко развиты в Ульяновском Поволжье и на юге Саратовской области. Мощность отложений нижней части нижнего кампана («птериевых слоев») может достигать 25 м. Вышележащие отложения зоны *mucronata* иногда выпадают из разреза. Их максимальная мощность оценивается в 10–15 м. Образования верхней части нижнего кампана, включающие *Actinocamax mammillatus*, характеризуются мощностью 10–30 м [15]. В центральных частях Саратовской области (например, в разрезах Вольска) нижний кампан отсутствует. Однако на севере Хвалынского впадины (Хвалынск) и на юге Саратовской области (Нижняя Банновка) такие отложения выявлены.

Верхнекампанская породы повсеместно распространены в пределах Ульяновско-Саратовского прогиба. Маркирующим горизонтом при сопоставлении разрезов кампана в пределах Саратовского Поволжья могут служить «птериевые слои» фарфоровидный мергель с *Oxytoma tenuicostata*, установленные в основании кампана, и песчаники с фосфоритовыми желваками в основании зоны *mucronata* [12].

Кампанская отложения Ульяновско-Саратовского прогиба изучены в четырех разрезах: карьер Сенгилейского цемзавода (Ульяновская область), обнажения на северной окраине г. Хвалынска, карьер цемзавода «Большевик» в окрестностях г. Вольска и вблизи с. Нижняя Банновка. Следует отметить значительную фациальную изменчивость изученных отложений кампанского яруса. Нижний кампан представлен глинами и песчанистыми мергелями (Сенгилей), мергелями и окремнелыми мергелями (Хвалынск), глинами, опоками и мергелями (Нижняя Банновка).

Верхний кампан охарактеризован писчим мелом (Сенгилей), писчим мелом и мергелями (Вольск), мергелями, опоками, глинами и песчаниками (Нижняя Банновка). Пудовкинская (*Actinocamax mammillatus* — *B. mucronata mucronata*), ардымская (*B. mucronata minor* — *B. langei langei*) и налитовская (*B. langei najdini*) свиты соответствуют кампанию в пределах Ульяновско-Саратовского прогиба.

Пудовкинская свита. Нижний подъярус. Пачка VII. «Птериевые слои» представлены ритмичным переслаиванием темно-серых, сизых кремнистых глин, опок и мергелей в разрезе Нижней Банновки, в забое карьера Сенгилейского цемзавода переслаиванием серых алевритовых глин и серо-коричневых песчанистых мергелей (видимая мощностью до 1,8 м), а на северной окраине Хвалынска ритмичным чередованием сиреневых и сизых плотных кремнистых (0,35–0,5 м) и белых плитчатых (0,1–0,15 м) мергелей с видимой мощностью до 2,25 м при полной мощности 7–8 м. Здесь присутствуют макрофоссилии: *Oxytoma tenuicostata*, *Sphenoceramus lobatus*, *Actinocamax*



laevigatus, *Belemnitella precursor* [8]. В кровле и по-дошве «птериевых слоев» наблюдаются поверхности перерыва. Мощность до 32,2 м (Нижняя Банновка). В разрезе Нижней Банновки возможно разделение пачки на четыре подпачки:

VII-1 (5,2–6,2 м). Песчаники глауконитовые мелкозернистые с периодически изменяющейся степенью биотурбации.

VII-2 (6 м). Переслаивание светлых опок и темных глин; мощности слоев 0,05–0,1 м, их границы нерезкие.

VII-3. Песчаники, аналогичные по составу та-ковым подпачки VIII-1; мощность 6 м.

VII-4. Переслаивание светлых опок и темных глин, идентичное в подпачке VIII-2; мощность 12 м.

В пачке VIII установлена ритмичность двух по-рядков: низкого на уровне подпачек (переслаивания опок и глин, подпачки VIII-2 и VIII-4), и более высокого на уровне пачки — ритмичное пере-слаивание подпачек.

Верхний подъярус. Пачка VIII: рыхлый писчий мел с обилием панцирей морских ежей (Сенгилей, Хвалынск, Вольск) или чередование серых окремнелых песчанистых глауконитовых плитча-тых глин, опок и серых окремнелых глауконито-вых песчаников (Нижняя Банновка, видимая мощность 0,8 м). Содержание кремнезема к кровле пачки увеличивается. Мощность пачки 2–3 м, она содержит макрофоссилии: *Belemnitella mucronata mucronata*, *Belemnitella mucronata senior*, *Iso-micraster sp.* и др. В разрезе карьера цемзавода «Большевик» отложения кампана несогласно, с размытым перекрывают породы коньяка. Амплитуда «волнистости» эрозионной поверхности может достигать 5 см. Кампанские отложения представ-лены карбонатными породами верхнего кампана мощностью 6 м. Белый писчий мел (микроскопи-чески биокристаллолитокластический известняк) с тонкими прослойками зеленовато-серого мелопо-добного мергеля («полосчатый мел» [13]), мощ-ность 2 м. Граница между нижней и верхней пач-ками эрозионная. Пачка «полосчатого мела» ($K_2cr_2^1$) характеризуется в районе Вольска наход-ками *Belemnitella mucronata mucronata* Schlöt., *Iso-micraster sp.* Пачка относится к нижней зоне верх-него кампана — *Belemnitella mucronata senior*. В пачке «полосчатого мела» в районе Вольска най-дены *Echinocorys sp.*, *In. dariensis*, *Belemnitella mucronata volgensis* [7].

Ардынская свита. Пачки VIII—IX: в воль-ском разрезе — толща узловатых белых биокри-сталлолитокластических мергелей, заключенных в се-ро-зеленом биокристаллолитокластическом мер-геле («брекчированный мел» [13]), мощность 4 м. В середине верхней пачки наблюдается эрозион-ная поверхность с закатившимися в эрозионные ниши панцирями морских ежей. Возможно, эта поверхность является границей между пачками IX и X. Толща «брекчированного мела» ($K_2cr_2^{2-3}$) в Вольском районе содержит ростры *Belemnitella langei*, *B. m. mucronata*, *B. m. senior*, морские ежи *Micraster grimmensis* и *Coraster cubanicus*. Соответ-ственно она относится к верхнему кампанию и

представлена его вторым и третьим горизонтами [8]. Таким образом, данный стратиграфический интервал разреза охарактеризован зонами *mucro-nata* и *langei*. Из кампанских отложений в районе Вольска также отмечены находки родов голово-ногих (*Bostrychoceras*), двустворчатых (*Spondylus*) и лопатоногих (*Dentalium*) моллюсков, брахиопод и одиночных кораллов (*Parasmilia*). Этот интервал разреза назван «микрастро-в кладбище» из-за обилия находок панцирей морских ежей [13]. В кампанских отложениях вольского разреза уста-новлены следы жизнедеятельности *Thallassinoides*, *Teichichnus* и *Planolites*.

В толще «полосчатого мела» представлены 10 ритмов типа мел (0,4–0,1 м) — глинистый мергель (0,02–0,05 м). В кровле слоев мела наблюдаются эрозионные поверхности. Ритмичность в «брек-чирированном меле» выражена циклами переслаива-ния массивных (2,5–0,6 м) и глинистых (0,03–0,05 м) мергелей.

Налитовская свита. Пачка IX: так называ-емый третий горизонт кампана (хорошо опозна-ется только в разрезе с. Нижняя Банновка) с ха-рактерными рострами *B. langei*, *B. m. minor* [8] — переслаивание мергелей серо-белых, слабокрем-нистых, песчанистых и опок светло-серых, песча-нистых, мелкозернистых. Мощность чередую-щихся слоев около 0,5 м. Содержание карбоната кальция в нижней половине пачки возрастает вверх по разрезу. Видимая мощность пачки 9–10 м, максимальная 20 м [8].

Маастрихтский ярус

На Русской плате отложения маастрихтского яруса разделены на два подъяруса [13]. На Воро-нежской антиклизии присутствуют породы мааст-рихта, однако они не встречены в изученных раз-резах. Маастрихтские отложения, представ-ленные писчим мелом мощностью несколько метров (нижний маастрихт, ланцеолитовая зона), извест-ны на юго-западной периферии антиклизы в бас-сейнах Десны и Сейма [8]. Предположительно к маастрихту [8] относятся также образования хо-перского горизонта, распространенные от Десны до Хопра, представленные бурьми железными рудами, пластовыми фосфоритами, глинами, пес-чаниками и песками, мощность 10–12 м. Стра-тиграфическое положение этого горизонта оста-ется дискуссионным: его относили к коньяку, сантону [8] и маастрихту [15]. Изученные разрезы маастрихтских отложений расположены в преде-лах Ульяновско-Саратовского прогиба. Их схема сопоставления приведена на рис. 7.

Ульяновско-Саратовский прогиб. Маастрихт-ские отложения представлены терригенными, кремнистыми и карбонатными породами. Ниж-ний подъярус охарактеризован глинистыми (зона *licharewi*) и перекрывающими их карбонатными породами (зоны *lanceolata* и *sumensis*). Мощность отложений зоны *licharewi* сокращается с севера на юг от 16 до 4 м. Разрезы зон *lanceolata* и *sumensis* демонстрируют сильную фациальную изменчи-

вость. Меловые породы характерны для Ульяновского Поволжья и севера Саратовской области (Хвалынск, Вольск). Мел-мергельные породы типичны для центральной части Саратовской области, постепенно фациально замещаются к западу кремнистыми и терригенными отложениями Воронежской антеклизы. Мощность маастрихта в пределах Саратовского Поволжья варьирует от 30 м (с. Нижняя Банновка) до 120 м (Хвалынск, Вольск), возрастает с юга на север Саратовской области. В Ульяновском Поволжье толща писчего мела (микроскопически биокристаллокластического известняка) нижнего маастрихта (15–45 м) в верхней части содержит формы, близкие к *Bel. lanceolata sumensis* [8]. В основной части пачки выявлены ростры *Bel. lanceolata* и ядра *Hoploscaphites constrictus*, что свидетельствует о достоверном присутствии в данном районе средней подзоны нижнего маастрихта [8].

Карбонатные породы нижнего маастрихта изучены в разрезах карьеров цемзаводов Сенгилейского и «Большевик». Песчаники, опоки и алевриты нижнего маастрихта характерны для разреза у с. Нижняя Банновка. В большинстве исследованных разрезах, кроме разреза на северной окраине Хвалынска, присутствуют отложения только нижнего маастрихта, несогласно перекрытые палеоценовыми опоками. Авторы провели наблюдения у Шиханского водозабора (ниже Вольска по течению Волги), где нижнемаастрихтские карбонатные породы перекрыты терригенными «слоями Белогородни» (даний), выше которых залегают палеоценовые опоки.

Находки верхнемаастрихтских *Belemnella americana* (ранее являвшихся зональным видом) в разрезах Ульяновского Поволжья и Вольско-Хвалынского района упоминались неоднократно [11, 14]. По стратиграфическому положению зона *americana* соответствует зоне *kazimiroviensis*. Мощность верхнемаастрихтских отложений в разрезе горы Богданихи на северной окраине Хвалынска составляет 25 м. Хорошим реперным уровнем при сопоставлении разрезов маастрихта для Саратовского Поволжья может служить глауконитовый песчаник (0,2–0,3 м) в основании зоны *lanceolata* [12]. Лохская свита соответствует отложениям нижнего, а карамышевская — верхнего маастрихта.

Нижний подъярус. Лохская свита. Пачка X установлена только в разрезе с. Нижняя

Банновка: глины черные, жирные, в подошве охристые, гидрослюдистые, плитчатые, содержит ростры *Belemnella licharewi*, следовательно, соответствует нижней подзоне нижнего маастрихта. Мощность 78 м.

Пачка XI: писчий мел (Сенгилей), мел с про слоями зеленовато-серого мергеля (Вольск), либо песчаники известковистые, глауконитовые, выше по разрезу сменяющиеся песчанистыми опоками и алевритами (Нижняя Банновка). Пачка характеризуется находками *Belemnella lanceolata*, *Baculites anceps leopoldiensis*, *Acanthoscaphites tridens*, *Hoploscaphites constrictus* и др. Мощность пачки 10–21 м. В разрезе у с. Нижняя Банновка наблюдаются неритмичные терригенно-кремнистые породы с рострами *Bel. lanceolata* (вторая подзона нижнего маастрихта) мощностью около 21 м.

Возможно выделение трех подпачек.

Подпачка XI-1: песчаники желтовато-зеленые, частично ожелезненные, содержащие фосфоритовые желвачки диаметром до 4 см, включает прослой, обогащенный рострами белемнитов и

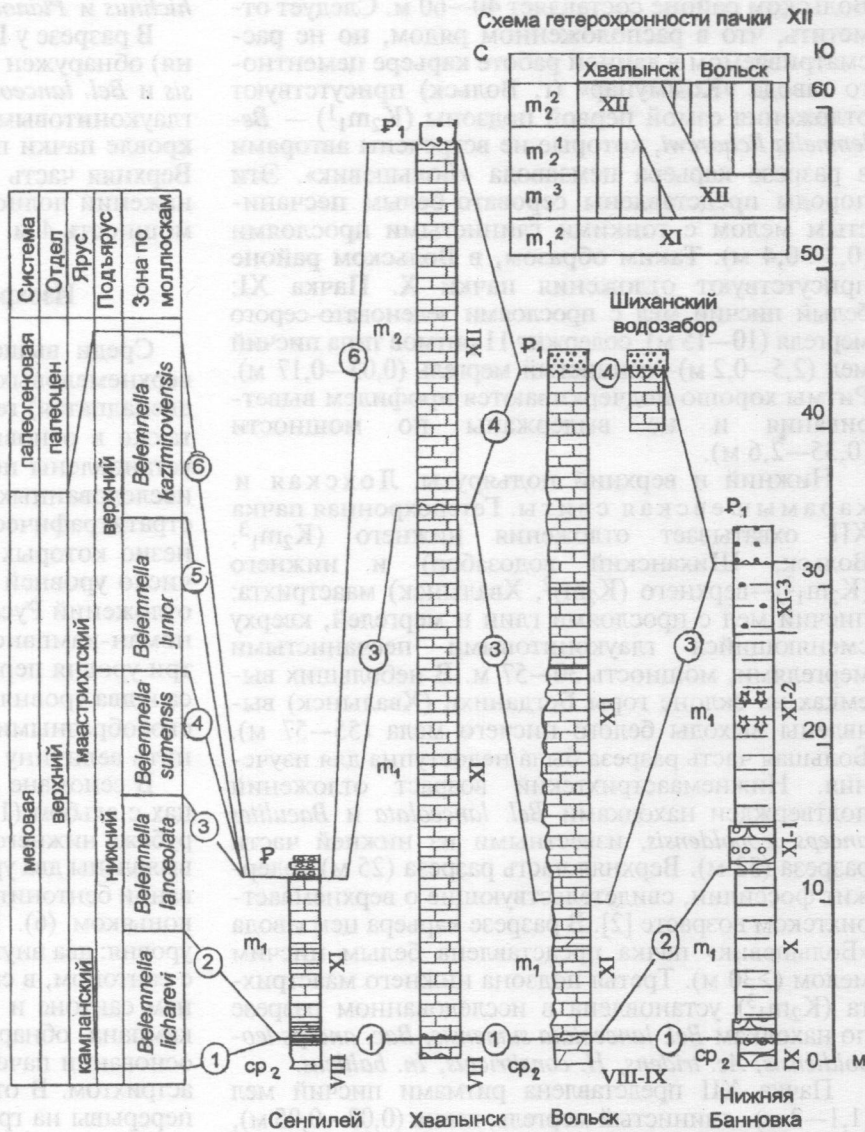


Рис. 7. Схема сопоставления разрезов маастрихтских отложений Ульяновско-Саратовского прогиба; усл. обознач. см. рис. 1

раковинами устриц, в кровле присутствует поверхность типа «твёрдое дно». Мощность 2,7–2,9 м.

Подпачка XI-2: опоки серо-белые, массивные в нижней и плитчатые в верхней частях подпачки, песчанистые, гидрослюдистые, с глауконитом. Граница с вышележащей подпачкой нерезкая. Мощность около 10 м.

Подпачка XI-3: алевриты грязно-серые, белесые, бледно-желтые с раковинами устриц и рострами белемнитов, в кровле подпачки — поверхность размыва (контакт с цикличной палеоценовой толщёй переслаивания более кремнистых и менее кремнистых опок). Мощность 6–8 м.

В разрезе карьера Сентгейского цемзавода визуально установлен аритмичный писчий мел мощностью 10,5 м. В основании разреза наблюдается пласт мергелистого известняка (0,5 м), с размывом лежащий на верхнекампанийских отложениях. В кровле пачки наблюдается поверхность перерыва: она с угловым несогласием перекрывает толщиной переслаивания светлых и темных опок палеоценена.

Мощность отложений нижнего маастрикта в Вольском районе составляет 40–60 м. Следует отметить, что в расположеннном рядом, но не рассматриваемом в данной работе карьере цементного завода «Коммунар» (г. Вольск) присутствуют отложения самой первой подзоны ($K_2m_1^1$) — *Bellemlella licharewi*, которые не встречены авторами в разрезе карьера цемзавода «Большевик». Эти породы представлены серовато-белым песчанистым мелом с тонкими глинистыми прослоями (0,3–0,4 м). Таким образом, в Вольском районе присутствуют отложения пачки X. Пачка XI: белый писчий мел с прослоями зеленовато-серого мергеля (10–15 м), содержит 11 ритмов типа писчий мел (2,5–0,2 м) — глинистый мергель (0,03–0,17 м). Ритмы хорошо подчеркиваются профилем выветривания и не выдержаны по мощности (0,35–2,6 м).

Нижний и верхний подъярусы. Лохская и карамышевская свиты. Гетерохронная пачка XII охватывает отложения нижнего ($K_2m_1^3$, Вольск, Шиханский водозабор) и нижнего ($K_2m_1^3$) — верхнего ($K_2m_2^2$, Хвалынск) маастрикта: писчий мел с прослоями глин и мергелей, кверху сменяющийся глауконитовыми песчанистыми мергелями, мощность 30–57 м. В небольших выемках на склоне горы Богданухи (Хвалынск) выявлены выходы белого писчего мела (55–57 м). Большая часть разреза была недоступна для изучения. Нижнемаастриктский возраст отложений подтвержден находками *Bel. lanceolata* и *Baculites anceps leopoldensis*, известными из нижней части разреза (32 м). Верхняя часть разреза (25 м) содержит фоссилии, свидетельствующие о верхнемаастрикском возрасте [2]. В разрезе карьера цемзавода «Большевик» пачка представлена белым писчим мелом (>30 м). Третья подзона нижнего маастрикта ($K_2m_1^3$) установлена в исследованном разрезе по находкам *Bel. lanceolata sumensis*, *Bac. anceps leopoldensis*, *Ac. tridens*, *H. consitictus*, *In. balticus*.

Пачка XII представлена ритмами писчий мел (1,1–2 м) — глинистый мергель, глина (0,03–0,05 м), хорошо проявленными в профиле выветривания и выдержанными по мощности (1,15–2,05 м).

Возможно выделение ритмов более высокого порядка путем группировки ритмов по парам. Иными словами, закономерно чередуются ритмы мощностью 1 м с ритмами мощностью 2 м. Таким образом, можно выделить шесть ритмов третьего порядка типа мел — мел и четыре ритма типа мел — мергель второго порядка в интервале 12 м от основания пачки, далее толща аритмична на протяжении 11 м. Затем наблюдаются два ритма мел — глина третьего порядка (мощность ритмов 1–2,5 м) или один ритм второго порядка, на протяжении следующих 10 м толща аритмична. Вероятно, 10–12-метровые аритмичные интервалы — не что иное, как элементы ритма первого порядка, чередующиеся с ритмичными интервалами.

В нижнемаастрикских породах Вольска содержатся ежи-цидароиды (*Cidaris*, *Salenia*), спатангиды (*Echinocorys*), устрицы (*Spondylus*, *Hystissa*), пектениды (*Janira*), губки (*Ventriculites*) и кораллы (*Cylicosmila*); редко встречаются брахиоподы, брюхоногие моллюски (*Pleurotomaria?*) [13]. В маастрикских отложениях Вольского разреза установлены ихнофоссилии *Thallassinoides*, *Teicichnus* и *Planolites*.

В разрезе у Шиханского водозабора (Белогордия) обнаружен писчий мел с *Bac. anceps leopoldensis* и *Bel. lanceolata sumensis*, кверху сменяющийся глауконитовыми песчанистыми мергелями. В кровле пачки присутствует поверхность размыва. Верхняя часть нижнего маастрикта в данном обнажении полностью аритмична (рис. 7), видимая мощность 4 м.

Изохронность и гетерохронность

Среди вышеописанных пачек, выделенных в верхнемеловых отложениях, только две (третья и двенадцатая) гетерохронны. В подошве третьей, а также в основании и кровле двенадцатой пачек установлены перерывы. Породы верхнего мела в исследованных разрезах содержат 17 уровней стратиграфических перерывов (табл. 1, рис. 8), генезис которых пока детально не изучен. Общее число уровней в сводном разрезе верхнемеловых отложений Русской плиты достигает 25 [19]. В сеноман-кампанском интервале установлены по три уровня перерывов в отложениях каждого яруса и два уровня — в маастрикте. Их можно считать своеобразными «маркерами», однако следует оценить величину гиатусов.

В сеномане наблюдалось три уровня: на границах с альбом (1) и туроном (3), а также внутри, на рубеже нижнего и среднего подъяруса (2). В туроне выявлены два уровня внутри подпачки III-1 в основании бентонитовых прослоев (4 и 5) и на границе с коньяком (6). В коньякском ярусе известны три уровня: два внутри подпачки IV-1 и один на рубеже с сантоном, в сантоне два: внутри пачки V в верхнем сантоне и на границе с кампаном. В породах кампана обнаружены следующие уровни: два в основании пачек VIII и IX и один на рубеже с маастриктом. В отложениях маастрикта наблюдались перерывы на границах подъярусов и с палеогеном.

Из сравнения хроностратиграфического распределения перерывов в одновозрастных отложе-

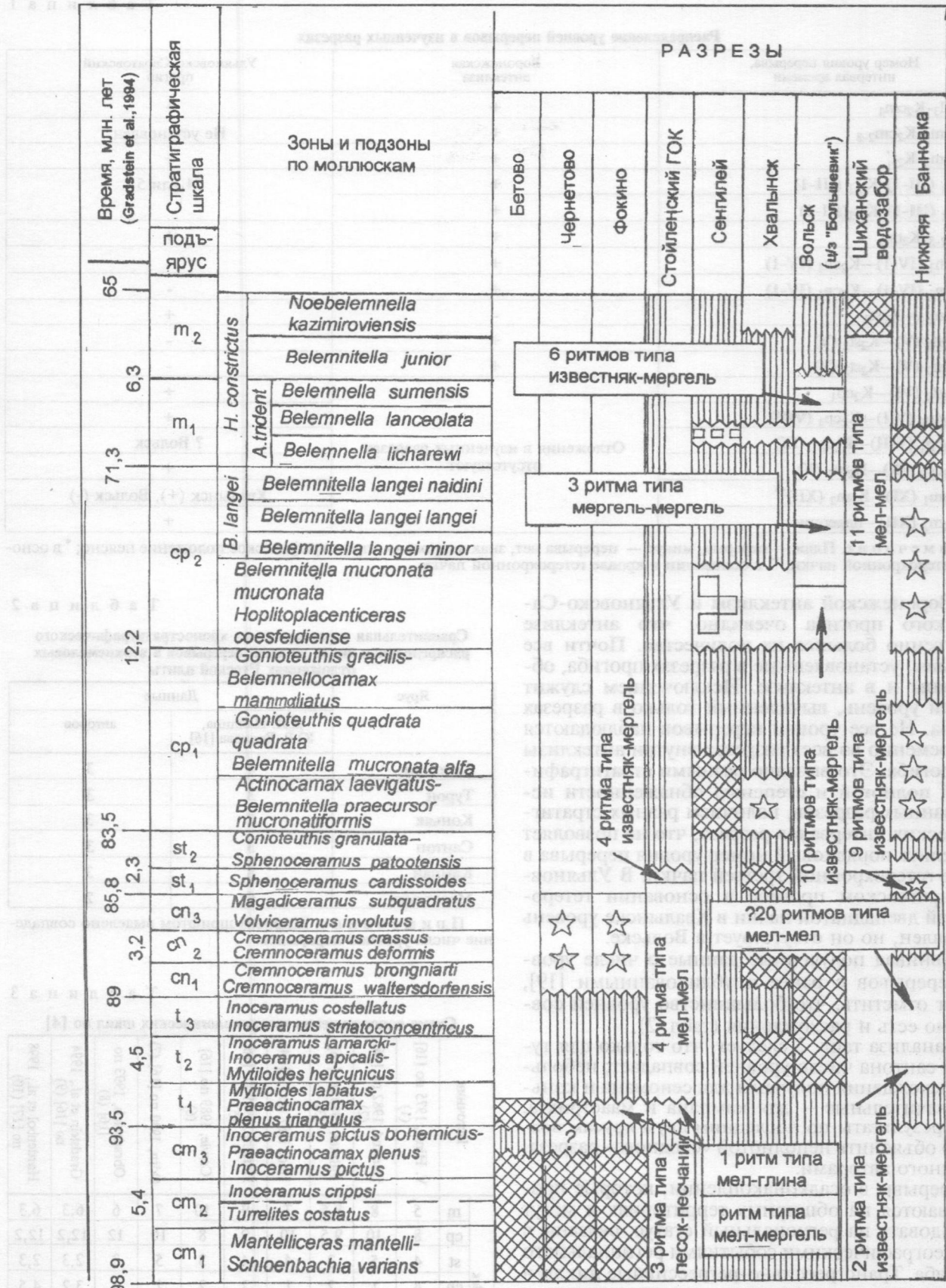


Рис. 8. Хроностратиграфическое распределение типов терригенно-карбонатных и карбонатных ритмов, кремнистых ритмичных, крипторитмичных и неритмичных толщ в верхнемеловых разрезах Русской плиты: вертикальная штриховка — перерывы в осадконакоплении (глатусы), перекрестная штриховка — аритмичные толщи, «пустые» интервалы — фрагменты, не изученные авторами, звездочки — кремнистые толщи

Таблица 1

Распределение уровней перерывов в изученных разрезах

Номер уровня перерыва, интервал времени	Воронежская антеклиза	Ульяновско-Саратовский прогиб
1, K ₁ al ₃ -K ₂ cm ₁	+	+
2, K ₂ cm ₁ -K ₂ cm ₂₋₃	+	Не установлен
3, K ₂ cm ₃ -K ₂ t ₁ *	+	+
4, K ₂ t ₁ (III-1)-K ₂ t ₁ (III-1)	+	?4 или 5
5, K ₂ t ₁ (III-1)-K ₂ t ₁ (III-1)	+	
6, K ₂ t ₂₋₃ -K ₂ cn ₁	+	+
7, K ₂ cn ₁ (IV-1)-K ₂ cn ₁ (IV-1)	+	-
8, K ₂ cn ₁ (IV-1)-K ₂ cn ₁ (IV-1)	+	-
9, K ₂ cn ₂₋₃ -K ₂ st ₁	-	+
10, K ₂ st ₂ (V)-K ₂ st ₂ (V)	+	-
11, K ₂ st ₂ (V)-K ₂ st ₂ (V)	+	-
12, K ₂ st ₂ (VI)-K ₂ cp ₁		+
13, K ₂ cp ₁ (VII)-K ₂ cp ₁ (VIII)		+
14, K ₂ cp ₁ (VIII)-K ₂ cp ₁ (IX)		? Вольск
15, K ₂ cp ₂ (IX)-K ₂ m ₁ (X)		+
16, K ₂ m ₁ (XI)-K ₂ m ₂ (XII)**		Хвалынск (+), Вольск (-)
17, K ₂ m ₂ (XII)-палеоген		+

Приимечание. Плюс — перерыв, минус — перерыва нет, знак вопроса — стратиграфическое положение неясно; * в основании гетерохронной пачки, ** в основании и кровле гетерохронной пачки.

ниях Воронежской антеклизы и Ульяновско-Саратовского прогиба очевидно, что антеклизе свойственно большее их количество. Почти все перерывы, установленные в разрезах прогиба, обнаружены и в антеклизе. Исключением служит девятый уровень, выявленный только в разрезах прогиба. Не все уровни перерывов наблюдаются одновременно во всех разрезах внутри антеклизы или прогиба. Это вызвано разными стратиграфической полнотой и степенью обнаженности исследованных разрезов, наличием разных стратиграфических интервалов разреза, что не позволяет определить порядковый номер уровня перерыва в кровле гетерохронной третьей пачки. В Ульяновско-Саратовском прогибе в основании гетерохронной двенадцатой пачки в Хвалынске уровень установлен, но он отсутствует в Вольске.

Сравнивая полученные данные о числе уровней перерывов с ранее опубликованными [19], следует отметить, что большинство уровней совпадло, но есть и расхождения (табл. 2).

Из анализа табл. 2 следует, что только для тура и сантона число уровней совпадает; небольшие расхождения получены для сеномана и конька; значительные — для кампана и маастрикта. Такие результаты по последним двум ярусам возможно объяснить неполнотой «сводного» разреза, изученного авторами.

Перерывы в осадконакоплении, которые прослеживаются на обширных территориях и могут претендовать на региональный статус, связаны с палеогеографическими событиями регионального масштаба. Трансгрессивно-регressive циклы в свою очередь определяются климатическими и тектоническими факторами. Представляется интересным изучение распределения числа уровней перерывов в зависимости от длительности в соответствующих веках в позднем мелу (табл. 3).

Таблица 2

Сравнительная характеристика хроностратиграфического распределения числа уровней перерывов в верхнемеловых отложениях Русской плиты

Ярус	Данные	
	Д.П. Найдина, Ю.В. Волкова [16]	авторов
Сеноман	4	3
Турон	3	3
Коньяк	2	3
Сантон	3	3
Кампан	8	3
Маастрихт	6	2

Приимечание. Жирным шрифтом выделено совпадение числа уровней перерывов.

Таблица 3

Схема сопоставления геохронологических шкал по [4]

Век	Источник	V. Hinte, 1975 по [16] (1)	Harland, 1982 по [16] (2)	Palmer, 1983 по [16] (3)	Naq, 1987 по [16] (4)	Harland, 1989 по [16] (5)	Cowie, 1989 по [16] (6)	Odin, 1990 по [16] (7)	Obradovich, 1993 по [16] (8)	Gradstein et al., 1994 по [16] (9)	Hardenbol et al., 1998 по [17] (10)
		m	cp	st	cn	t	cm				
		5	8	8,5	7	9	10	7	6	6,3	6,3
		8	10	9,5	10	9	8	10	12	12,2	12,2
		4	5	3	4	4	3	5	3	2,3	2,3
		4	1	2	1	2	2	1	3	3,2	4,5
		6	2	3	3	3	3	3	4	4,5	4,5
		8	6	6	4	5,5	4	5	5	5,4	5,4

Приимечание. В скобках — порядковый номер шкалы; продолжительность веков в млн. лет.

Таблица 4

Расчет длительности периодов аккумуляции осадков в сеноманском веке по 10 шкалам времени

Продолжительность сеноманского века	8 (1)	6 (2,3)	5,5 (5)	5,4 (9, 10)	5 (7, 8)	4 (4, 6)
Число уровней перерывов	4 по [19]	2	1,5	1,375	1,35	1,25
	3 по данным авторов	2,6	2	1,8(3)	1,8	1,(66) 2,(6)

П р и м е ч а н и е. Выделены курсивом в скобках номера шкалы времени; жирным шрифтом длительность периодов аккумуляции осадков, совпадающая с продолжительностью циклов эксцентрикитета Миланковича; продолжительность веков и периодов аккумуляции в млн. лет.

Таблица 5

Расчет длительности периодов аккумуляции осадков в туронском веке по 10 шкалам времени

Продолжительность туронского века	6 (1)	4,5 (9,10)	4 (8)	3 (3-7)	2 (2)
3 уровня перерывов по данным авторов	2	1,5	1,(3)	1	0,66

П р и м е ч а н и е. См. примечание к табл. 4.

Таблица 6

Расчет длительности периодов аккумуляции осадков в коньяцком веке по 10 шкалам времени

Продолжительность коньяцкого века	4,5 (10)	4 (1)	3,2 (9)	3 (8)	2 (3, 5, 6)	1 (2, 4, 7)
Число уровней перерывов	3 по [19]	1,5	1,(3)	1,0(6)	1	0,(6)
	2 по данным авторов	2,25	2	1,6	1,5	1

П р и м е ч а н и е. См. примечание к табл. 4.

Таблица 7

Расчет длительности периодов аккумуляции осадков в сантонском веке по 10 шкалам времени

Продолжительность сантонского века	5 (2, 7)	4 (1, 4, 5)	3 (3, 6, 8)	2,3 (9, 10)
3 уровня по данным авторов и по [19]	1,(6)	1,5	1	0,7(6)

П р и м е ч а н и е. См. примечание к табл. 4.

Таблица 8

Расчет длительности периодов аккумуляции осадков в кампанском веке по 10 шкалам времени

Продолжительность кампанского века	12,2 (9, 10)	12 (8)	10 (2, 4, 7)	9,5 (3)	8 (1)
8 уровней по [19]	1,525	1,5	1,25	1,1875	1

П р и м е ч а н и е. См. примечание к табл. 4.

Разделив продолжительность века на число уровней перерывов, нетрудно выяснить, сколько временных интервалов аккумуляции осадков. При этом допустимо не учитывать длительность перерыва. Ввиду некорректности данных, имеющихся у авторов, о числе уровней для последних двух

Таблица 9

Расчет длительности периодов аккумуляции осадков в маастрихтском веке по 10 шкалам времени

Продолжительность маастрихтского века	10 (6)	19 (3)	8,5 (3)	8 (2)	7 (4,7)	6,3 (9,10)	6 (8)	5 (1)
6 уровней по [19]	1,(6)	1,5	1,4 (6)	1,(3)	1,1 (6)	1,05	1	0,8 (3)

П р и м е ч а н и е. См. примечание к табл. 4.

веков, сравним наши результаты с таковыми Д.П. Найдина и Ю.В. Волкова для сеномана—сантона [19]. Кампан-маастрихтский интервал проанализирован только с использованием данных [19].

В результате получаем (табл. 4), что для сеномана ряд интервалов по длительности совпадает с астрономо-климатическими циклами Миланковича эксцентрикитета земной орбиты: $E_3=1,29$ млн. лет и $E_4=2,03$ млн. лет. Используя данные Д.П. Найдина и Ю.В. Волкова [19], можно говорить о двух типах циклов, наши данные,— об одном. Эти же циклы установлены в туроне (табл. 5). Для коньяцкого века характерны циклы E_3 (по данным [16]) и E_4 (по нашим данным, табл. 6). Продолжительность интервалов аккумуляции осадков в сантоне (табл. 7) не обнаруживает связи с какими-либо известными астрономо-климатическими циклами, что требует дальнейших исследований. Для кампана (табл. 8) и маастрихта (табл. 9) получены значения, близкие к циклам E_3 .

Гетерохронные отложения в кровле или подошве имеют хотя бы одну «скользящую» границу, совпадающую с границей гетерохронного перерыва.

Выводы

1. В верхнемеловых отложениях Воронежской антеклизы и Ульяновско-Саратовского прогиба выделена последовательность из 12 пачек, прослеженных в изученных разрезах.

2. Установлены ритмичные и неритмичные интервалы. Ритмичные толщи поддаются классификации по петрографическим типам. Установлены ритмы разных порядков.

3. Породы верхнего мела в исследованных разрезах содержат 17 уровней стратиграфических перерывов, три из которых гетерохронны: в основании нижнего—среднего турона; в основании и кровле пачки XII.

4. Периоды аккумуляции осадков, разделенные уровнями изохронных и гетерохронных перерывов, в сеноман-коньяцком интервале совпадают по продолжительности с астрономо-климатическими циклами (Миланковича) эксцентрикитета земной орбиты. Это циклы: $E_3=1,29$ млн. лет и $E_4=2,03$ млн. лет. Кампан-маастрихтские интервалы аккумуляции характеризуются совпадением с циклами E_3 .

Работа выполнена при поддержке РФФИ (проекты 02-05-64576 и 03-05-06221-мас) и гранта Минобразования РФ ПД 02 1.5-483.

ЛИТЕРАТУРА

1. Алексеев А.С., Олферьев А.Г., Шик С.М. Объяснительная записка к унифицированным стратиграфическим схемам верхнего мела Восточно-Европейской платформы. СПб., 1995. С. 1–58.
2. Барышникова В.И. Распространение и микрофаунистическая характеристика зоны *Belemnitella americana* в Саратовском Поволжье // Вопросы геологии Южного Урала и Поволжья. 1966. №2. С. 274–285.
3. Волго-Уральская нефтеносная область. Юрские и меловые отложения / Под ред. Т.Л. Дервиз Л.: Гостоптехиздат, 1959. С. 8–352.
4. Габдуллин Р.Р. Ритмичность верхнемеловых отложений Русской плиты, Северо-Западного Кавказа и Юго-Западного Крыма (строение, классификация, модели формирования). М.: Изд-во МГУ, 2002. 304 с.
5. Габдуллин Р.Р., Иванов А.В. Комплексное изучение ритмичности карбонатного осадконакопления на примере позднемелового бассейна Ульяновско–Саратовского прогиба // Тр. НИИ Геологии Саратовского университета. Новая серия. Т. VIII. Саратов: Научная книга, 2001. С. 69–90.
6. Габдуллин Р.Р., Иванов А.В. Ритмичность карбонатного осадконакопления в позднемеловом бассейне юга воронежской антеклизы (на примере разреза карьера Стойленского горно-обогатительного комбината) // Тр. НИИ Геологии Саратовского университета. Новая серия. Т. VIII. Саратов: Научная книга, 2002. С. 41–55.
7. Габдуллин Р.Р., Иванов А.В. Ритмичность карбонатных толщ. Саратов: Изд-во Сарат. ун-та, 2002. 52 с.
8. Герасимов П.А., Милячева Е.Е., Найдин Д.П., Стерлин Б.П. Юрские и меловые отложения Русской платформы // Очерки региональной геологии СССР. В. 5. М.: Изд-во МГУ, 1962. С. 88–181.
9. Иванов А.В. Маринакулаты — проблематичный новый тип животных из мела и палеогена России. Саратов: Изд-во ГосУНЦ «Колледж», 1995. 152 с.
10. Ильин А.В., Найдин Д.П. Утяжеление изотопного состава углерода у границы сеномана и турона: первые данные по Восточно-Европейской платформе // Докл. РАН. 1995. Т. 345. №5. С. 653–656.
11. Камышева-Елпатьевская В.Г. Атлас мезозойской фауны и спорово-пыльцевых комплексов нижнего Поволжья и сопредельных областей. Общая часть. Фораминыфера. В. 1. Саратов: Изд-во Сарат. ун-та, 1967. 257 с.
12. Камышева-Елпатьевская В.Г. Маркирующие горизонты юрских, меловых и палеогеновых отложений Саратовского Поволжья // Ученые записки СГУ им. Н.Г.Чернышевского. Т. XXVIII, вып. геол. Саратов, 1951. С. 10–35.
13. Матесова М.Н. Геологический экскурсии в окрестности города Вольска // Тр. Вольского окружного-научно-образовательного музея. В. 3. Вольск, 1930. 56 с.
14. Милановский Е.В. Очерк геологии Среднего и Нижнего Поволжья. Л.: Гостоптехиздат, 1940. 276 с.
15. Стратиграфия СССР. Меловая система / Под ред. М.Н. Москвина. Полутом 1. М.: Недра, 1986. С. 96–143.
16. Gradstein F.M. et al. A Mesozoic time scale // J. of Geophysical Research. 1994. 99 (B12). P. 24051–24074.
17. Hardenbol J. et al. Mesozoic and Cenozoic Sequence Chronostratigraphic Framework of European Basins // Mesozoic and Cenozoic Sequence Stratigraphy of European Basins, 1998. SEPM Spec. Publ. 60, chart I. Boulder, 1998.
18. Il'yin A.V. Mid-Cretaceous phosphate platforms of the Russian Craton // Sedimentary Geology. 1997. 113 (1–2). P. 125–135.
19. Nadin D.P., Volkov Yu.V. Eustasy and Late Cretaceous seas of the East-European Platform // Zbl. Geol. Paleont. 1996. Teil 1. H. 11/12. P. 1225–1232.

Московский государственный университет
НИИ Геологии Саратовского университета
Рецензент — Л.Ф.Копаевич

УДК 550.384.32; 551.77

Э.А. МОЛОСТОВСКИЙ, А.В. ДЯКИНА, А.Н. ПИСЬМЕННЫЙ

МАГНИТОСТРАТИГРАФИЯ И ПЕТРОМАГНЕТИЗМ ПОКРОВНОЙ ТОЛЩИ КАБАРДИНСКОЙ ВПАДИНЫ ЦЕНТРАЛЬНОГО ПРЕДКАВКАЗЬЯ

Впервые петромагнитными определениями охарактеризована покровная формация Кабардинской впадины в Центральном Предкавказье. На основе магнитной зональности выделены верхний эо- и неоплейстоцен. В неоплейстоцене по петромагнитным вариациям намечены нижнее, среднее и верхнее(?) звенья. Петромагнитное датирование выполнено посредством корреляции сводных колонок Кабардинской и Терско-Кумской впадин, в последней петромагнитные вариации сопоставлены с данными палинотретиграфии.

Состояние проблемы. Расчленение и корреляция мощной покровной толщи Предкавказья относятся к разряду наиболее сложных проблем стратиграфии плейстоцена европейской части России. В отличие от Молдавии и Украины в предкавказской лессовидной толще практически неизвестна микротериофауна, крайне скучны и палинологические данные. Поэтому особое значение приобретают палео- и петромагнитные определения, но до настоящего времени они в ограниченных объемах производились лишь в Терско-Кумской впадине Восточ-

ного Предкавказья [2, 3]. В центральных и западных районах Северного Кавказа работы этого плана начали проводиться лишь в последние годы в процессе геологической съемки масштаба 1:200 000.

А.Н. Письменным предоставлены для палеомагнитных определений коллекция ориентированных «верх–низ» образцов и детальное описание керна опорных скважин № 1, 4, пробуренных в пределах Кабардинской впадины. Обобщение палеомагнитных данных выполнено Э.А. Молостовским и А.В. Дякиной.